

Правительство Российской Федерации
Федеральное государственное бюджетное образовательное учреждение
высшего профессионального образования
«Санкт-Петербургский государственный университет»
Кафедра статистического моделирования

Миллер Анастасия Александровна

ИМИТАЦИОННАЯ МОДЕЛЬ АМЕРИКАНСКИХ ОПЦИОНОВ

Бакалаврская работа

Допущена к защите

Заведующий кафедрой:

д. ф.-м. н., профессор С. М. Ермаков

Научный руководитель:

д. ф.-м. н., профессор С. М. Ермаков

Рецензент:

к.ф.-м.н., доцент Т. М. Товстик

Санкт-Петербург

2015

Saint Petersburg State University
Department of Statistical Modelling

Miller Anastasiia

SIMULATION MODEL OF AMERICAN OPTIONS

Bachelor's Thesis

Admitted for defence

Head of Department:

Professor S. M. Ermakov

Scientific Supervisor:

Doctor of Physics and Mathematics, Professor
S. M. Ermakov

Reviewer:

Candidate of Physics and Mathematics,
Associate Professor T. M. Tovstik

Saint Petersburg

2015

Оглавление

Глава 1. Метод случайных деревьев	4
1.1. Оценка сверху	5
1.2. Оценка снизу	6
Глава 2. Схема Неймана-Улама и её обобщение на нелинейные уравне- ния	9
2.1. Общие сведения о схеме Неймана-Улама применительно к ветвящемуся марковскому процессу	9
2.2. Приложение к задаче оценивания Американского опциона	13
2.2.1. Описание метода	14
2.2.2. Численные результаты	16
Список литературы	20

Глава 1

Метод случайных деревьев

Метод случайных деревьев, предложенный в [1], ищет решение проблемы оптимального времени остановки и оценивает истинное значение цены Американского опциона (в отличие от метода параметрических приближений).

Вместо того, чтобы строить оценку, каким-либо образом стремящуюся к $V_0(X_0)$, мы построим две функции, являющиеся смещёнными вверх и вниз состоятельными оценками V , (в [1] приведено доказательство отсутствия несмещённой оценки для $V_0(X_0)$). Пусть $\hat{V}(b)$ и $\hat{v}(b)$ — такие оценки, зависящие от некоторого параметра b , сходящиеся к V при $b \rightarrow \infty$.

Метод случайного дерева основан на моделировании случайной цепи X_0, X_1, \dots, X_m . Зафиксируем параметр ветвления b . Из исходного состояния X_0 смоделируем b независимых следующих состояний $X_1^1, X_1^2, \dots, X_1^b$, все с условием X_1 . Для каждого X_1^i снова смоделируем b независимых последующих состояний $X_2^{i1}, \dots, X_2^{ib}$. На m -ом шаге будем иметь b^m состояний, и это и есть источник основного недостатка этого метода — его экспоненциальной алгоритмической сложности. Пример получающегося дерева состояний приведён на 1.1.

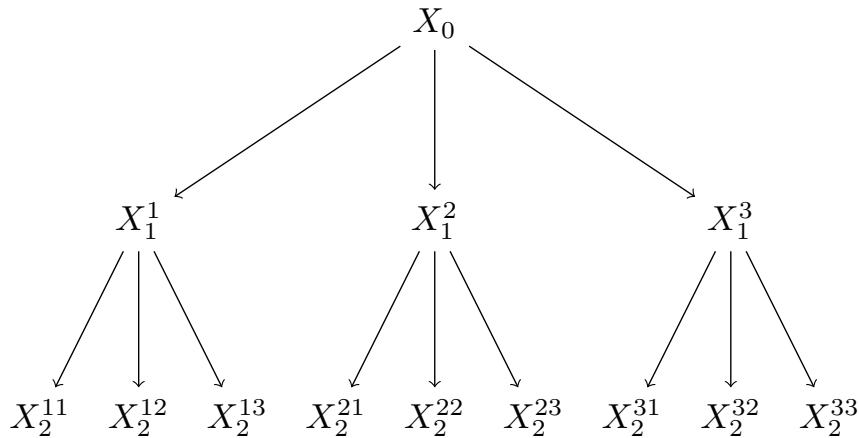


Рис. 1.1. Дерево состояний для $b = 3, m = 2$

1.1. Оценка сверху

Используя (??), зададим оценку в терминальных вершинах дерева равной известному значению функции выплат

$$\hat{V}_m^{j_1 \dots j_m} = h_m(X_m^{j_1 \dots j_m}), \quad (1.1)$$

в нетерминальных вершинах будем пользоваться результатами вычислений на предыдущем шаге

$$\hat{V}_i^{j_1 \dots j_i} = \max \left\{ h_i(X_i^{j_1 \dots j_i}), \frac{1}{b} \sum_{j=1}^b \hat{V}_{i+1}^{j_1 \dots j_i j} \right\}. \quad (1.2)$$

Другими словами, оценка сверху — это просто результат обхода дерева в глубину с присвоением каждой ветви дерева одинакового веса.

Смещённость оценки вверх и её состоятельность доказывается с помощью индукции:

Теорема 1. $\forall i \in 1 : n$

$$\mathbb{E} \left[\hat{V}_i^{j_1 \dots j_i} | X_i^{j_1 \dots j_i} \right] \geq V_i(X_i^{j_1 \dots j_i})$$

Доказательство. В листьях дерева неравенство выполняется как равенство по определению.

Докажем, что если утверждение теоремы выполняется на $i+1$ шаге, то оно выполняется и на i . По определению

$$\mathbb{E} \left[\hat{V}_i^{j_1 \dots j_i} | X_i^{j_1 \dots j_i} \right] = \mathbb{E} \left[\max \left\{ h_i(X_i^{j_1 \dots j_i}), \frac{1}{b} \sum_{j=1}^b \hat{V}_{i+1}^{j_1 \dots j_i j} \right\} | X_i^{j_1 \dots j_i} \right],$$

с помощью неравенства Йенсена ($\varphi(\mathbb{E}[X]) \leq \mathbb{E}[\varphi(X)]$) это можно оценить как

$$\mathbb{E} \left[\max \left\{ h_i(X_i^{j_1 \dots j_i}), \frac{1}{b} \sum_{j=1}^b \hat{V}_{i+1}^{j_1 \dots j_i j} \right\} | X_i^{j_1 \dots j_i} \right] \geq \max \left\{ h_i(X_i^{j_1 \dots j_i}), \mathbb{E} \left[\frac{1}{b} \sum_{j=1}^b \hat{V}_{i+1}^{j_1 \dots j_i j} | X_i^{j_1 \dots j_i} \right] \right\},$$

в силу того, что $\forall j \in 1 : b$ $X_{i+1}^{j_1 \dots j_i j}$ - независимые одинаково распределённые случайные величины (и их математическое ожидание одинаково), $\mathbb{E} \left[\frac{1}{b} \sum_{j=1}^b \hat{V}_{i+1}^{j_1 \dots j_i j} \right] = \frac{1}{b} \sum_{j=1}^b \mathbb{E} \hat{V}_{i+1}^{j_1 \dots j_i j} = \mathbb{E} \hat{V}_{i+1}^{j_1 \dots j_i 1}$, а в силу индукционного предположения

$$\begin{aligned} \max \left\{ h_i(X_i^{j_1 \dots j_i}), \mathbb{E} \left[\hat{V}_{i+1}^{j_1 \dots j_i 1} | X_i^{j_1 \dots j_i} \right] \right\} &\geq \max \left\{ h_i(X_i^{j_1 \dots j_i}), \mathbb{E} [V_{i+1}(X_i^{j_1 \dots j_i 1}) | X_i^{j_1 \dots j_i}] \right\} \\ &\geq V_i(X_i^{j_1 \dots j_i}). \end{aligned}$$

Таким образом, $\mathbb{E} \left[\hat{V}_i^{j_1 \dots j_i} | X_i^{j_1 \dots j_i} \right] \geq \max \left\{ h_i(X_i^{j_1 \dots j_i}), V_i(X_i^{j_1 \dots j_i}) \right\}$ □

Теорема 2. Оценка \hat{V} асимптотически состоятельна, то есть

$$\hat{V}_i^{j_1 \dots j_i} \xrightarrow[b \rightarrow \infty]{P} V_i(X_i^{j_1 \dots j_i})$$

Доказательство. В листьях дерева это очевидно ($\hat{V}_m^{j_1 \dots j_m} = h_m(X_m^{j_1 \dots j_m}) = V_m(X_m^{j_1 \dots j_m})$ по определению). Предположим, что $\hat{V}_{i+1}^{j_1 \dots j_i} \xrightarrow[b \rightarrow \infty]{P} V_{i+1}(X_i^{j_1 \dots j_i})$.

Обозначив $\hat{V}_k = \hat{V}_k^{j_1 \dots j_k}$, $\hat{V}_{k+1}^i = \hat{V}_k^{j_1 \dots j_k i}$ для некоторой случайной последовательности $j_1 \dots j_k$, $\|\xi\|_{X_k} = (E(\xi^p | X_k))^{\frac{1}{p}}$, получим на k -м шаге

$$\begin{aligned} \left\| \hat{V}_k(b) - V(X_k) \right\|_{X_k} &= \\ &= \left\| \max \left\{ h_k(X_k), \frac{1}{b} \sum_{i=1}^b \hat{V}_{k+1}^i(b) \right\} - \max \{ h_k(X_k), E(V(X_{k+1}) | X_k) \} \right\|_{X_k} \leq \\ &\leq \left\| \frac{1}{b} \sum_{i=1}^b \hat{V}_{k+1}^i(b) - E(V(X_{k+1}) | X_k) \right\|_{X_k} \leq \\ &\leq \left\| \frac{1}{b} \sum_{i=1}^b (\hat{V}_{k+1}^i(b) - V_{k+1}(X_{k+1}^i)) \right\|_{X_k} + \\ &\quad + \left\| \frac{1}{b} \sum_{i=1}^b V_{k+1}(X_{k+1}^i) - E(V(X_{k+1}) | X_k) \right\|_{X_k}. \end{aligned}$$

Второе слагаемое является разностью суммы реализаций независимых (при данном X_k) случайных величин и математического ожидаемого слагаемых этой суммы и сходится по закону больших чисел. Для первого же применяется индукционное предположение, в итоге

$$\left\| \hat{V}_k(b) - V(X_k) \right\|_{X_k} \xrightarrow[b \rightarrow \infty]{} 0.$$

Сходимость по норме даёт нам сходимость по вероятности, тем самым доказывая, что оценка \hat{V} состоятельна. Более подробное доказательство можно найти в [1]. \square

1.2. Оценка снизу

Значения оценки сверху в каждый момент времени — это выбор максимума из стоимости опциона при его немедленном исполнении и математического ожидания стоимости удержания опциона. Но стоимость удержания опциона рассчитывается, исходя из дочерних узлов дерева состояний актива, то есть оценка сверху рассчитывается, опираясь

на информацию о будущем. Чтобы убрать ошибку, связанную с этим, необходимо отделить механизм принятия решения о исполнении или удержании опциона от значений, полученных после принятия решения об удержании опциона.

В более общей (и более короткой) постановке — необходимо оценить $\max \{a, EY\}$ с помощью b независимых одинаково распределённых реализаций случайной величины Y для некоторой константы a и случайной величины Y . Оценка $\max \{a, \bar{Y}\}$ (где \bar{Y} — среднее значение выборки) является оценкой сверху, так как $E \max \{a, \bar{Y}\} \geq \max \{a, E\bar{Y}\} = \max \{a, EY\}$, что и было использовано в построении оценки сверху.

Разделим множество реализаций $\{Y_i\}_{i=1}^b$ случайной величины Y на два независимых подмножества и вычислим их средние значения \bar{Y}_1 и \bar{Y}_2 . Если положить

$$\hat{v} = \begin{cases} a, & \text{если } \bar{Y}_1 \leq a, \\ \bar{Y}_2, & \text{иначе,} \end{cases} \quad (1.3)$$

мы отделим процесс принятия решения о исполнении или удержании опциона от оценки стоимости (за решение будет отвечать \bar{Y}_1 , за оценку — \bar{Y}_2). При этом оценка \hat{v} является оценкой снизу:

$$E\hat{v} = P(\bar{Y}_1 \leq a) a + (1 - P(\bar{Y}_1 \leq a)) EY \leq \max \{a, EY\}$$

В оригинальной работе [1] была использована немного другая оценка. Пусть «отвечающим за принятие решения» подмножеством будут все реализации, кроме одной, а «оценивающее» множество будет состоять из одной оставшейся реализации. Возьмём математическое ожидание этой величины, т.е. положим в листьях дерева значение оценки

$$\hat{v}_m^{j_1 j_2 \dots j_m} = h(X_m^{j_1 j_2 \dots j_m}), \quad (1.4)$$

а для промежуточных узлов определим

$$\hat{v}_{ik}^{j_1 j_2 \dots j_i} = \begin{cases} h(X_i^{j_1 j_2 \dots j_i}), & \text{если } \frac{1}{b-1} \sum_{j=1, j \neq k}^b \hat{v}_{i+1}^{j_1 j_2 \dots j_i j} \leq h(X_i^{j_1 j_2 \dots j_i}) \\ \hat{v}_{i+1}^{j_1 j_2 \dots j_i k}, & \text{иначе} \end{cases} \quad (1.5)$$

и оценку положим равной

$$\hat{v}_i^{j_1 j_2 \dots j_i} = \frac{1}{b} \sum_{k=1}^b \hat{v}_{ik}^{j_1 j_2 \dots j_i}. \quad (1.6)$$

Доказательства смещённости и состоятельности нижней оценки аналогичны вышеприведённым для оценки сверху и также могут быть найдены в [1].

Таким образом, мы имеем дерево с $\sum_{k=1}^m b^k = \frac{b(b^m-1)}{b-1} = O(b^m)$ вершинами. Несмотря на то, что потребление памяти в процессе работы алгоритма можно держать в рамках $O(bm)$ (структура алгоритма подразумевает обход дерева в глубину с сохранением только присущих обходимой траектории значений), анализа требуют все $O(b^m)$ вершин, что означает экспоненциальный рост временной сложности алгоритма. Следовательно, об устремлении $m \rightarrow \infty$ в изначальной форме алгоритма речь идти не может.

Глава 2

Схема Неймана-Улама и её обобщение на нелинейные уравнения

Деревья конструкции, аналогичной описанной в главе 1, используются в известном обобщении схемы Неймана-Улама, что приводит к идее применения оценок, разработанных для линейных интегральных уравнений, к задаче нахождения цены Американского опциона. Ниже будут изложены общие сведения о схеме Неймана-Улама и проведены более детальные аналогии с оценками (??).

2.1. Общие сведения о схеме Неймана-Улама применительно к ветвящемуся марковскому процессу

Пусть имеется уравнение

$$\varphi(x) = \int K(x, y, \varphi(y)) \varphi(y) \mu(dy) + f(x) \quad \text{mod } \mu, \quad (2.1)$$

для которого сходится метод последовательных приближений

$$\varphi_n(x) = \int K(x, y, \varphi_{n-1}(y)) \varphi_{n-1}(y) \mu(dy) + f(x) \quad \text{mod } \mu, \quad (2.2)$$

для некоторого начального приближения $\varphi_0(x)$ при $n \rightarrow \infty$. Тогда при наличии предположений о сходимости ряда Неймана $\sum_{i=0}^{\infty} \int K^i f d\mu$ в той же метрике, в которой сходится метод последовательных приближений, об устойчивости ядра K интегрального оператора к возмущениям, и, возможно, некоторых других, можно получать приближённые решения φ_n методом Монте-Карло.

Процесс отыскания численного решения усложняется тем, что неизвестным в интегральном уравнении является функция, а не число, что означает дополнительные вопросы о способе хранения информации о решении уравнения. Представленный ниже способ, как будет видно, избавляет от необходимости хранить таблицу значений искомой функции.

Будем рассматривать только «одночленные» уравнения вида

$$\begin{aligned} \varphi(x) &= \int K(x, y_1, \dots, y_b) \prod_{i=1}^b \varphi(y_i) \mu^b(dy_1, \dots, dy_b) + f(x) \iff \\ \iff \varphi &= \mathcal{K}\varphi^{(b)} + f \end{aligned} \quad (2.3)$$

и предполагать, что метод последовательных приближений

$$\varphi_0 = f, \quad \varphi_n = \mathcal{K}\varphi_{n-1}^{(b)} + f \quad (2.4)$$

сходится в метрике некоторого банахова пространства F к решению уравнения (2.3).

Рассмотрим пример для $b = 2, n = 2$.

$$\begin{aligned} \varphi_1(x_0) &= f(x_0) + \int K(x_0, x_1, x_2) f(x_1) f(x_2) \mu^2(dx_1, dx_2) \\ \varphi_2(x_0) &= f(x_0) + \int K(x_0, x_1, x_2) \times \\ &\times \left[f(x_1) + \int K(x_1, x_3, x_4) f(x_3) f(x_4) \mu^2(dx_3, dx_4) \right] \times \\ &\times \left[f(x_2) + \int K(x_2, x_5, x_6) f(x_5) f(x_6) \mu^2(dx_5, dx_6) \right] \times \mu^2(dx_1, dx_2) = \\ &= f_0 + \int K_{0,1,2} f_1 f_2 \mu_{1,2} + \int K_{0,1,2} \left(f_1 \int K_{2,5,6} f_5 f_6 \mu_{5,6} \right) \mu_{1,2} + \\ &+ \int K_{0,1,2} \left(f_2 \int K_{1,3,4} f_3 f_4 \mu_{3,4} \right) \mu_{1,2} + \\ &+ \int \int \int K_{0,1,2} K_{1,3,4} K_{2,5,6} f_3 f_4 f_5 f_6 \mu_{1,2} \mu_{3,4} \mu_{5,6} \end{aligned}$$

Если посмотреть на дерево вида 1.1, можно заметить, что переменные в слагаемых вышеприведённого уравнения в точности соответствуют поддеревьям полного дерева, у которого из каждой вершины выходит $b = 2$ дочерних, а расстояние от корня до листьев равно $n = 2$.

Обозначив последовательности $j_1 \dots j_k$ мультииндексами $\nu[0] = (1), \nu[k+1] = (\nu[k], j_{k+1})$, можно выразить уравнение метода последовательных приближений (2.4) как

$$\begin{aligned} \varphi_{N-k}(x[\nu(k)]) &= \int K(x[\nu(k)], x[\nu(k), 1], \dots, x[\nu(k), b]) \times \\ &\times \prod_{j_{k+1}=1}^b \varphi_{N-k-1}(x[\nu(k+1)]) \mu^b(dx[\nu(k), 1], \dots, dx[\nu(k), b]) + \\ &+ f(x[\nu(k)]), \end{aligned}$$

а введя сокращённые обозначения

$$\begin{aligned} z[\nu(k)] &= \varphi_{N-k}(x[\nu(k)]), \\ a_{\nu(k)}\varphi &= \int K(x[\nu(k)], x[\nu(k), 1], \dots, x[\nu(k), b]) \varphi d\mu, \\ f[\nu(k)] &= f(x[\nu(k)]), \end{aligned}$$

переписать в виде

$$z[\nu(k)] = a_{\nu(k)} \prod_{j_{k+1}=1}^b z[\nu(k+1)] + f[\nu(k)].$$

Каждый мультииндекс $\nu(k)$ является описанием некоторой траектории, а в силу конструкции индексов эти траектории сливаются в дерево. Для дальнейшей работы дадим более формальное описание деревьев.

Пусть $\gamma_k = (\mathfrak{B}_0, \dots, \mathfrak{B}_k)$ — совокупность множеств $\mathfrak{B}_r, r \in \mathbb{N} \cup \{0\}$ мультииндексов $\nu(r)$, удовлетворяющих следующим условиям:

1. $\forall r > 1, \nu(r) \in \mathfrak{B}_r$ соответствующее $\nu(r-1) \in \mathfrak{B}'_{r-1} \subset \mathfrak{B}_{r-1}$.
2. $\forall r > 0 \nu(r) = (\nu(r-1), j_r)$, и j_r принимает всевозможные значения из $1 : b$.
3. $\mathfrak{B}_0 = \{(1)\}$.

Такую совокупность γ_k назовём деревом. Дерево, для которого все $\mathfrak{B}'_{r-1} = \mathfrak{B}_{r-1}$, называется полным. Множество \mathfrak{B}'_r здесь по сути является множеством, траектории из которого «продолжат существование» на следующем шаге. Так, дерево с рис. 1.1 имеет $\mathfrak{B}'_1 = \cup_{b=1}^3 \{(1, b, 1), (1, b, 2), (1, b, 3)\}$ и $\mathfrak{B}'_2 = \emptyset$. Для любого дерева γ определён оператор

$$\begin{aligned} A(\gamma) &= f[\nu(0)] \text{ при } N = 0 \\ A(\gamma) &= a_{\nu(0)} \prod_{\mathfrak{B}_1 \setminus \mathfrak{B}'_1} f[\nu(1)] \prod_{\mathfrak{B}'_1} a_{\nu(1)} \prod_{\mathfrak{B}_2 \setminus \mathfrak{B}'_2} f[\nu(1)] \prod_{\mathfrak{B}'_2} a_{\nu(2)} \times \\ &\quad \times \dots \times \prod_{\mathfrak{B}_N} f[\nu(N)] \text{ при } N > 0 \end{aligned} \tag{2.5}$$

В [2] доказано, что

$$z[\nu(0)] = \sum_{\gamma \in \Gamma_N} A(\gamma), \tag{2.6}$$

где суммирование проходит по всем поддеревьям полного дерева с N поколениями Γ_N .

В результате реализации однородного ветвящегося марковского процесса с начальной плотностью $\pi(x) \geq 0$, переходной плотностью $p(x, y_1, \dots, y_b) \geq 0$ и вероятностью поглощения $g(x) : \int p(x, y_1, \dots, y_b) \mu^s(dy_1, \dots, dy_b) = 1 - g(x)$ образуется дерево описанного выше типа, число поколений которого N не обязательно конечно. В случае, если конкретная реализация γ имеет длину $N \in (0; \infty)$, то ей соответствует плотность вероятности

$$\begin{aligned} p(\gamma) = & \pi(x[1]) p(x[1], x[1, 1], \dots, x[1, b]) \times \prod_{\mathfrak{B}_1 \setminus \mathfrak{B}'_1} g[\nu(1)] \times \\ & \times \prod_{\mathfrak{B}'_1} p(x[\nu(k)], x[\nu(k), 1], \dots, x[\nu(k), b]) \times \\ & \times \prod_{\mathfrak{B}_2 \setminus \mathfrak{B}'_2} g[\nu(2)] \times \dots \times \prod_{\mathfrak{B}_N} f[\nu(N)]. \end{aligned}$$

Для марковского процесса *выполняются условия согласования*, если

$$1. \forall (x, y_1, \dots, y_b)$$

$$\begin{aligned} K(x, y_1, \dots, y_b) \neq 0 \quad \text{mod } \mu^{b+1} & \implies \\ \implies p(x, y_1, \dots, y_b) > 0 \quad \text{mod } \mu^{b+1} \end{aligned}$$

$$2. \forall x$$

$$\begin{aligned} h(x) \neq 0 \quad \text{mod } \mu & \implies \pi(x) > 0 \quad \text{mod } \mu \\ f(x) \neq 0 \quad \text{mod } \mu & \implies g(x) > 0 \quad \text{mod } \mu \end{aligned}$$

Сокращая обозначения $h_0 = h(x[1])$, $\pi_0 = \pi(x[1])$, $f[\nu(k)] = f(x[\nu(k)])$, $g[\nu(k)] = g(x[\nu(k)])$,

$$\begin{aligned} K_{\nu[k]} &= K(x[\nu(k)], x[\nu(k), 1], \dots, x[\nu(k), b]), \\ p_{\nu[k]} &= p(x[\nu(k)], x[\nu(k), 1], \dots, x[\nu(k), b]), \end{aligned}$$

для интегрального уравнения (2.3) и марковской цепи, для которой выполняются условия согласования с этим уравнением, можно определить оценку

$$\hat{J}_\gamma = \frac{h_0}{p_0} \frac{K_{\nu(0)}}{p_{\nu(0)}} \prod_{\mathfrak{B}_1 \setminus \mathfrak{B}'_1} \frac{f[\nu(1)]}{p[\nu(1)]} \prod_{\mathfrak{B}'_1} \frac{K_{\nu(1)}}{p_{\nu(1)}} \prod_{\mathfrak{B}_2 \setminus \mathfrak{B}'_2} \frac{f[\nu(2)]}{p[\nu(2)]} \prod_{\mathfrak{B}'_2} \frac{K_{\nu(2)}}{p_{\nu(2)}} \times \dots \times \prod_{\mathfrak{B}_N} \frac{f[\nu(N)]}{p[\nu(N)]}. \quad (2.7)$$

Эта оценка является несмещённой оценкой функционала (φ, h) (см. [2]).

2.2. Приложение к задаче оценивания Американского опциона

Для проведения аналогии между оценками интегральных уравнений и стоимости опциона рассмотрим небольшой пример.

Пусть имеется опцион с $m = 3$ датами исполнения: t_0, t_1, t_2 . Обозначим операцию взятия максимума $\max\{a, b\} = a \oplus b$, и в нижеприведённом примере положим приоритет операции взятия максимума выше приоритета операции сложения. Тогда верхняя оценка его стоимости по случайному дереву с $b = 3$ ветвями будет выглядеть как

$$\begin{aligned}
 \hat{V}_0(X_0) &= h_0(X_0) \oplus \frac{1}{3} \sum_{j=1}^3 V_1(X_1^j) = \\
 &= h_0(X_0) \oplus \frac{1}{3} \left(h_1(X_1^1) \oplus \frac{1}{3} \sum_{j=1}^3 V_2(X_2^{1j}) + \right. \\
 &\quad \left. + h_1(X_1^2) \oplus \frac{1}{3} \sum_{j=1}^3 V_2(X_2^{2j}) + \right. \\
 &\quad \left. + h_1(X_1^3) \oplus \frac{1}{3} \sum_{j=1}^3 V_2(X_2^{3j}) \right) = \\
 &= h_0(X_0) \oplus \frac{1}{3} \left(h_1(X_1^1) \oplus \frac{1}{3} \sum_{j=1}^3 h_2(X_2^{1j}) + \right. \\
 &\quad \left. + h_1(X_1^2) \oplus \frac{1}{3} \sum_{j=1}^3 h_2(X_2^{2j}) + \right. \\
 &\quad \left. + h_1(X_1^3) \oplus \frac{1}{3} \sum_{j=1}^3 h_2(X_2^{3j}) \right) =
 \end{aligned}$$

используя тот факт, что $\forall a, b, c, d \ a \oplus b + c \oplus d = (a + c) \oplus (a + d) \oplus (b + c) \oplus (b + d)$

$$\begin{aligned}
 &= h_0(X_0) \oplus \frac{1}{3} (h_1(X_1^1) + h_1(X_1^2) + h_1(X_1^3)) \oplus \\
 &\quad \oplus \frac{1}{3} \left(h_1(X_1^1) + h_1(X_1^2) + \frac{1}{3} \sum_{j=1}^3 h_2(X_2^{3j}) \right) \oplus \\
 &\quad \oplus \frac{1}{3} \left(h_1(X_1^1) + \frac{1}{3} \sum_{j=1}^3 h_2(X_2^{2j}) + h_1(X_1^3) \right) \oplus
 \end{aligned}$$

$$\begin{aligned}
& \oplus \frac{1}{3} \left(h_1(X_1^1) + \frac{1}{3} \sum_{j=1}^3 h_2(X_2^{2j}) + \frac{1}{3} \sum_{j=1}^3 h_2(X_2^{3j}) \right) \oplus \\
& \oplus \frac{1}{3} \left(\frac{1}{3} \sum_{j=1}^3 h_2(X_2^{1j}) + h_1(X_1^2) + h_1(X_1^3) \right) \oplus \\
& \oplus \frac{1}{3} \left(\frac{1}{3} \sum_{j=1}^3 h_2(X_2^{1j}) + h_1(X_1^2) + \frac{1}{3} \sum_{j=1}^3 h_2(X_2^{3j}) \right) \oplus \\
& \oplus \frac{1}{3} \left(\frac{1}{3} \sum_{j=1}^3 h_2(X_2^{1j}) + \frac{1}{3} \sum_{j=1}^3 h_2(X_2^{2j}) + h_1(X_1^3) \right) \oplus \\
& \oplus \frac{1}{3} \left(\frac{1}{3} \sum_{j=1}^3 h_2(X_2^{1j}) + \frac{1}{3} \sum_{j=1}^3 h_2(X_2^{2j}) + \frac{1}{3} \sum_{j=1}^3 h_2(X_2^{3j}) \right)
\end{aligned}$$

Пример даёт представление о виде оператора, аналогичного $A(\gamma)$. Он будет выглядеть следующим образом:

$$\begin{aligned}
A'(\gamma) = \sum_{\mathfrak{B}_0 \setminus \mathfrak{B}'_0} h_0(X_0) + \frac{1}{b} \sum_{\mathfrak{B}_1 \setminus \mathfrak{B}'_1} h_1(X_1^{\nu(1)}) + \frac{1}{b^2} \sum_{\mathfrak{B}_2 \setminus \mathfrak{B}'_2} h_2(X_2^{\nu(2)}) + \\
+ \dots + \frac{1}{b^m} \sum_{\mathfrak{B}_m} h_m(X_m^{\nu(m)})
\end{aligned} \tag{2.8}$$

Тогда $\hat{V}_0(X_0)$ выражается как $\max_{\gamma \in \Gamma_m} A'(\gamma)$.

Продолжение аналогии предполагает построение случайной величины J'_γ , математическое ожидание которой было бы равно $(\hat{V}_0, f) = \int V_0(x)f(x)d\mu$ для любого наперёд заданного f . Но так как оцениваемым значением в данной работе является $V_0(X_0)$ (и, следовательно, $\hat{V}_0(X_0)$), такая случайная величина не представляет собой интереса.

2.2.1. Описание метода

Для дерева состояний базового актива обрыв траектории в $t_i < t_m$ означает, что опцион исполнен в момент t_i . Априори вероятность этого события неизвестна, поэтому определить $g(x)$ иначе, как равное 0, если $t < t_m$, и 1, если $t = t_m$, не представляется возможным. По этой же причине оценка стоимости опциона в вершине $X_i^{j_1 \dots j_i}$ как $h_i(X_i^{j_1 \dots j_i})$ является несостоятельной. Тем не менее, обход всех вершин (так как при текущем определении g дерево состояний всегда получается полным длины m) означает ту же вычислительную сложность, что и в исходных оценках.

Рассматривая то же множество поддеревьев γ полного дерева Γ_m (поддеревья, каждая вершина которых имеет либо 0, либо b дочерних), что и в разделе 2.1, построим пару асимптотически состоятельных оценок.

Согласно описанию ветвящегося процесса, множество вершин, имеющих общую родительскую вершину, можно разделить на два класса: «поглощённые», то есть не имеющие дочерних вершин, и «выжившие», которые имеют дочерние вершины в количестве b штук. Будем использовать для пути, приведшего в вершину $X_{k-1}^{j_1 \dots j_{k-1}}$ также обозначение $\nu(k-1)$, а множество вершин с общей родительской $X_{k-1}^{j_1 \dots j_{k-1}}$ обозначим как $\mathfrak{B}_{\nu(k)} = \left\{ X_k^{\nu(k-1), j} \right\}_{j=1}^b$, подмножество выживших — $\mathfrak{B}'_{\nu(k)} \subset \mathfrak{B}_{\nu(k)}$. Для вершин, погибших на k -ом шаге, примем оценки стоимости удержания опциона равными оценкам стоимости удержания опциона, вычисленными для ближайшей в каком-либо смысле (например, в смысле евклидова расстояния на множестве состояний базового актива, если это \mathbb{R}^d) вершины из множества выживших, то есть

$$\forall X \in \mathfrak{B}_{\nu(k)} \setminus \mathfrak{B}'_{\nu(k)} \quad \hat{V}_k(X) = \arg \min_{\mathfrak{B}'_{\nu(k)}} \hat{V}_k(Y).$$

Получившаяся пара оценок:

$$\begin{cases} \hat{V}'_m(X_m^{j_1 \dots j_m}) = h_m(X_m^{j_1 \dots j_m}) \\ \hat{V}'_k(X_k^{j_1 \dots j_k}) = \begin{cases} h_m(X_m^{j_1 \dots j_m}) \oplus \frac{1}{b} \sum_{j=1}^b \hat{V}'_{k+1}(X_{k+1}^{j_1 \dots j_{k+1}}), & X_k^{j_1 \dots j_k} \in \mathfrak{B}'_k \\ \arg \min_{\mathfrak{B}'_{\nu(k)}} \hat{V}_k(X), & X_k^{j_1 \dots j_k} \in \mathfrak{B}_k \setminus \mathfrak{B}'_k \end{cases} \end{cases} \quad (2.9)$$

$$\begin{cases} \hat{v}'_m(X_m^{j_1 \dots j_m}) = h_m(X_m^{j_1 \dots j_m}) \\ \hat{v}'_{ik}(X_i^{j_1 j_2 \dots j_i}) = \begin{cases} h(X_i^{j_1 j_2 \dots j_i}), & \text{если } \frac{1}{b-1} \sum_{j=1, j \neq k}^b \hat{v}'_{i+1}(X_{i+1}^{j_1 j_2 \dots j_{i+1}}) \leq h(X_i^{j_1 j_2 \dots j_i}) \\ \hat{v}'_{i+1}(X_{i+1}^{j_1 j_2 \dots j_{i+1}}), & \text{иначе} \end{cases} \\ \hat{v}'_k(X_k^{j_1 \dots j_k}) = \begin{cases} \hat{v}'_i(X_i^{j_1 j_2 \dots j_i}) = \frac{1}{b} \sum_{k=1}^b \hat{v}'_{ik}(X_{ik}^{j_1 j_2 \dots j_i}), & X_k^{j_1 \dots j_k} \in \mathfrak{B}'_k \\ \arg \min_{\mathfrak{B}'_{\nu(k)}} \hat{v}'_k(X), & X_k^{j_1 \dots j_k} \in \mathfrak{B}_k \setminus \mathfrak{B}'_k \end{cases} \end{cases} \quad (2.10)$$

Докажем, что оценки являются состоятельными. Принцип доказательства одинаковый, поэтому ограничимся оценкой сверху. В доказательстве используются те же сокращённые обозначения, что и в доказательстве теоремы 2.

Теорема 3.

$$\left\| \hat{V}'_k - V(X_k) \right\|_{X_k} \xrightarrow{b \rightarrow \infty} 0$$

Доказательство. В листьях дерева утверждение очевидно. Предположим, что для $k+1$

$$\left\| \hat{V}'_{k+1} - V(X_{k+1}) \right\|_{X_k} \xrightarrow{b \rightarrow \infty} 0.$$

Для вершин из \mathfrak{B}'_k оценка $\hat{V}'_k = h_m(X_m^{j_1 \dots j_m}) \oplus \frac{1}{b} \sum_{j=1}^b \hat{V}'_{k+1}(X_{k+1}^{j_1 \dots j_k j})$, то есть верхняя оценка стоимости опциона при условии неисполнения его на всех шагах до k включительно равна $\frac{1}{b} \sum_{j=1}^b \hat{V}'_{k+1}(X_{k+1}^{j_1 \dots j_k j}) = \frac{1}{b} \left(\sum_{\mathfrak{B}'_{\nu(k)}} \hat{V}'_{k+1}(X_{k+1}^{\nu(k+1)}) + \sum_{\mathfrak{B}_{\nu(k)} \setminus \mathfrak{B}'_{\nu(k)}} \arg \min_{\mathfrak{B}'_{\nu(k)}} \hat{V}'_k(X) \right)$. Следовательно, её можно выразить как взвешенную сумму оценок на узлах из множества $\mathfrak{B}'_{\nu(k)}$: $\sum_{\mathfrak{B}'_{\nu(k)}} w_{\nu(k+1)} \hat{V}'_{k+1}(X_{k+1}^{\nu(k+1)})$, где $w_{\nu(k+1)}$ — частота использования оценки $X_{k+1}^{\nu(k+1)}$, $\sum_{\mathfrak{B}'_{\nu(k)}} w_{\nu(k+1)} = 1$.

Тогда имеется следующая оценка:

$$\begin{aligned} \left\| \hat{V}'_k - V(X_k) \right\|_{X_k} &\leq \left\| \sum_{\mathfrak{B}'_{\nu(k)}} w_{\nu(k+1)} \left(\hat{V}'_{k+1}(X_{\nu(k+1)}) - V_{k+1}(X_{\nu(k+1)}) \right) \right\|_{X_k} + \\ &+ \left\| \sum_{\mathfrak{B}'_{\nu(k)}} w_{\nu(k+1)} V_{k+1}(X_{\nu(k+1)}) - \mathbb{E}(V(X_{k+1}) | X_{\nu(k)}) \right\|_{X_k}. \end{aligned}$$

Второе слагаемое — разность взвешенной суммы независимых одинаково распределённых случайных величин и их математического ожидания, стремится к 0 при увеличении числа слагаемых в сумме $b \rightarrow \infty$. По определению оценки \hat{V}' первое слагаемое $\left\| \sum_{\mathfrak{B}'_{\nu(k)}} w_{\nu(k+1)} \left(\hat{V}'_{k+1}(X_{\nu(k+1)}) - V_{k+1}(X_{\nu(k+1)}) \right) \right\|_{X_k} \leq \left\| \hat{V}'_{k+1} - V(X_{k+1}) \right\|_{X_k} \xrightarrow{b \rightarrow \infty} 0$ по индукционному предположению. \square

Из вышеизложенных рассуждений получается алгоритм, приведённый на листинге 1.

Неочевидными остаются алгоритм выбора состояний, из которых дерево будет продолжать расти, и алгоритм назначения оценок.

2.2.2. Численные результаты

Алгоритм был реализован. На рис.2.1 можно увидеть полученные оценки. Вершины, из которых будут строиться дочерние из состояния $X_i^{j_1 \dots j_i}$, выбирались равновероятно из множества $\{X_{i+1}^{j_1 \dots j_i j}\}_{j=1}^b$ всех смоделированных вершин, математическое ожидание числа вершин на шаге i было равно $\max\{b \min\{i+1/m, 1\}, 1\}$.

Также был реализован алгоритм Броди-Глассермана, результаты его работы можно увидеть на рис.2.2.


```

def calculate( $X_i^{j_1 \dots j_i}, b, K$ ):
    input : текущее состояние  $X_i^{j_1 \dots j_i}$  (включает в себя время  $t_i$ ), число
            веток  $b$ , цена страйк  $K$ 
    output: оценка стоимости опциона  $\hat{V}_i^{j_1 \dots j_i}$  при условии, что он не был
            исполнен до этого момента

    if  $t_i = t_m$  then
        | return  $h_m(X_m^{j_1 \dots j_m})$ ;
    end

    промоделировать состояния  $\{X_{i+1}^{j_1 \dots j_i j}\}_{j=1}^b$ ;
    выбрать случайным образом состояния  $\{X_{i+1}^l\}_{l=1}^k \subset \{X_{i+1}^{j_1 \dots j_i j}\}_{j=1}^b$ , из
    которых будут генерироваться дочерние вершины;
    for  $x \in \{X_{i+1}^l\}_{l=1}^k$  do
        |  $\hat{V}_{i+1}^l = \text{calculate}(x, b, K)$ ;
    end

    for  $x \in \{X_{i+1}^{j_1 \dots j_i j}\}_{j=1}^b \setminus \{X_{i+1}^l\}_{l=1}^k$  do
        |  $\hat{V}_{i+1}^l = \text{случайно выбранная из уже полученных оценок}$ ;
    end

    return  $\max \left\{ h_i(X_i^{j_1 \dots j_i}), \frac{1}{b} \sum_{j=1}^b \hat{V}_{i+1}^j \right\}$ ;

```

Algorithm 1: оценка стоимости Американского опциона по случайно выбранным поддеревьям

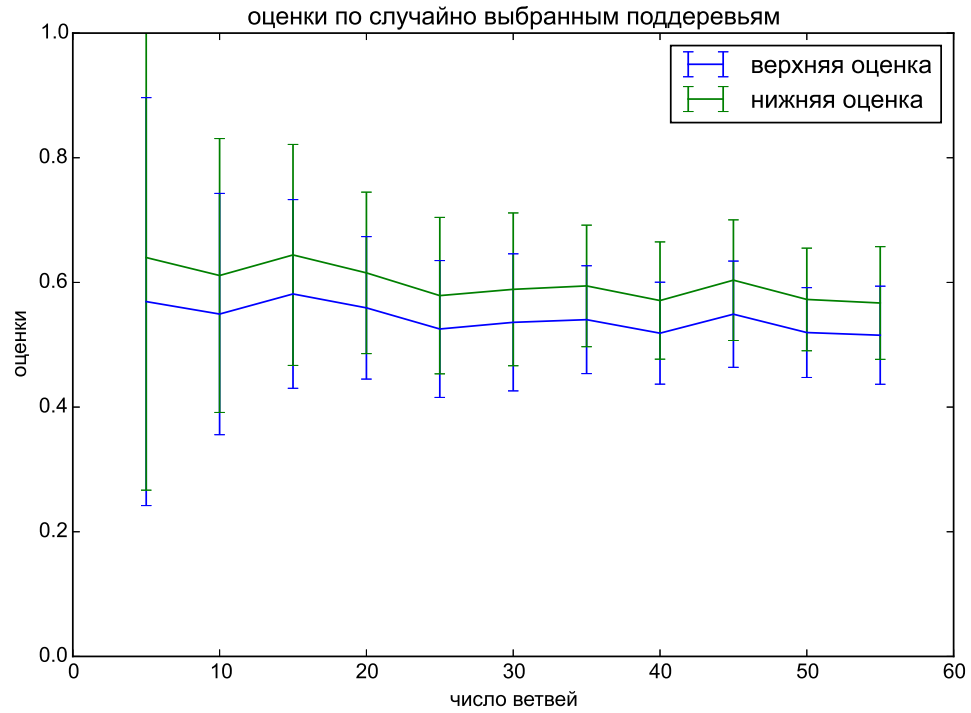


Рис. 2.1. Верхняя и нижняя оценки стоимости опциона по случайным поддеревьям

Оценки стоимости опциона с начальной ценой 100, выписанного на срок 1 год на базовый актив с риск-нейтральной процентной ставкой $r = 0.05$, дивидендной ставкой $\delta = 0.1$ и волатильностью $\sigma = 0.2$, цена которого — случайный процесс, являющийся геометрическим броуновским движением с параметрами $\mu = r - \delta$ и σ , исполняемого 4 раза в году

По графику можно видеть, что оценка, получающаяся по данному алгоритму, обладает значительно большей дисперсией. При этом время работы близко к линейному, что отчасти компенсирует широкие доверительные интервалы.

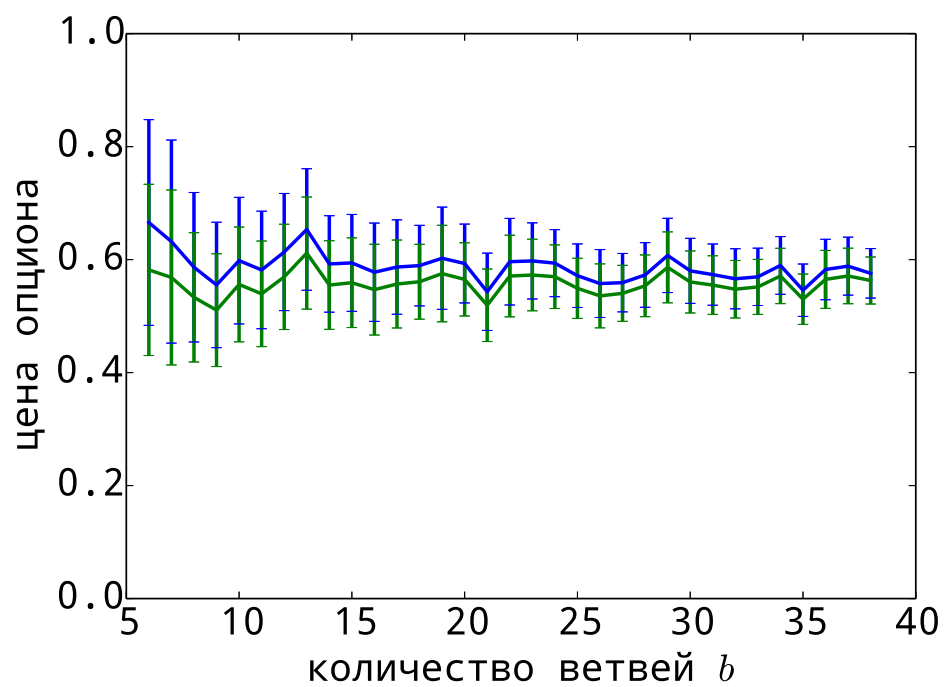


Рис. 2.2. Верхняя и нижняя оценки стоимости опциона по алгоритму Броуди-Глассермана. Оценки стоимости опциона с начальной ценой 100, выписанного на срок 1 год на базовый актив с риск-нейтральной процентной ставкой $r = 0.05$, дивидендной ставкой $\delta = 0.1$ и волатильностью $\sigma = 0.2$, цена которого — случайный процесс, являющийся геометрическим броуновским движением с параметрами $\mu = r - \delta$ и σ , исполняемого 4 раза в году

Список литературы

1. Broadie M., Glasserman P. Pricing American-style securities by simulation // Journal of Economic Dynamics and Control. — 1997. — Vol. 21. — P. 1323–1352.
2. Сергей Михайлович Ермаков. Метод Монте-Карло и смежные вопросы. — Наука, 1975.
3. Broadie Mark, Glasserman Paul, Jain Gautam. Enhanced Monte Carlo estimates for american option prices // Journal of Derivatives. — 1997. — Vol. 5, no. 1 (Fall). — P. 25–44.
4. Duffie Darrell. Dynamic Asset Pricing Theory. — Third Edition edition. — Princeton University Press, 2001.
5. Glasserman Paul. Monte Carlo Methods in Financial Engineering. — Springer, 2004.
6. Haug Espen Gaarder. The Complete Guide to Option Pricing Formulas. — McGraw-Hill Education, 2007. — ISBN: 9780071389976. — URL: <https://books.google.ru/books?id=pSKLNAEACAAJ>.
7. Peskir Goran, Shiryaev Albert. [Optimal Stopping and Free-Boundary Problems](#). Lectures in Mathematics. ETH Zürich. — 1 edition. — Birkhäuser Basel, 2006.
8. Ю Ду Люу. Методы и алгоритмы финансовой математики / Под ред. Е.В. Чепурин. — БИНОМ. Лаборатория знаний, 2007.
9. Положение о видах производных финансовых инструментов. — 2010. — 04.